

Figura 4.93 – Mapa de localização dos perfis geoquímicos A-A' e B-B'

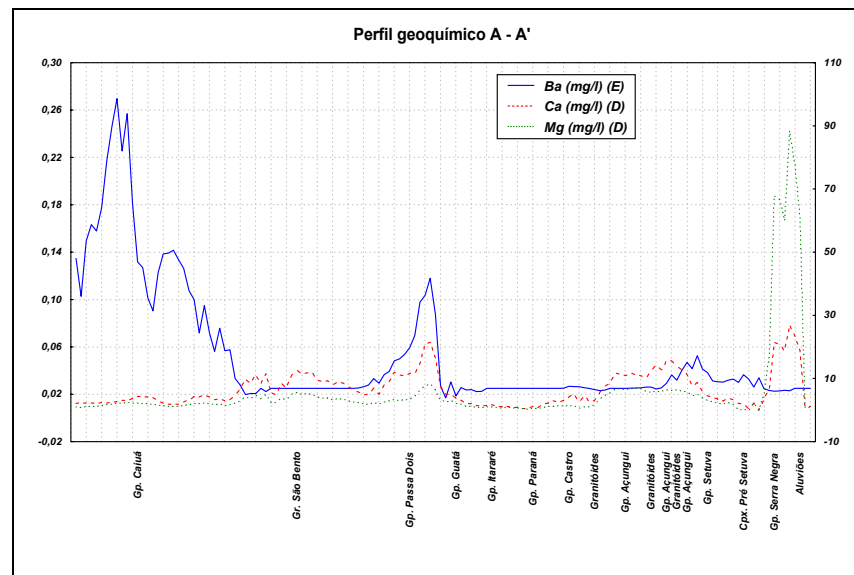


Figura 4.94 – Perfil geoquímico do Ba^{2+} , Ca^{2+} e Mg^{2+} nas águas das microbacias hidrográficas, segundo A-A'. (E) = eixo Y esquerdo; (D) = eixo Y direito

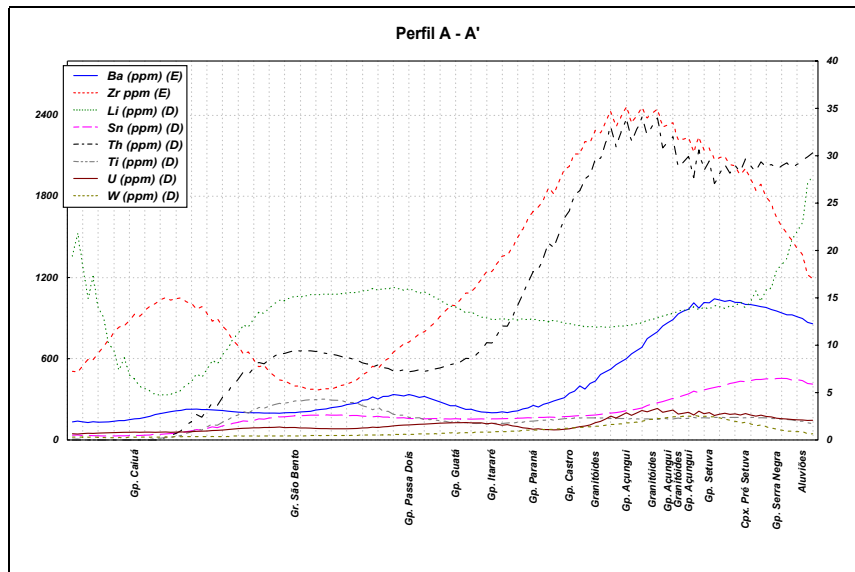


Figura 4.95 - Perfil geoquímico do Ba, Zr, Li, Sn, Th, Ti, U e W nos sedimentos ativos de drenagem (GGRN), segundo A-A'. (E) = eixo Y esquerdo; (D) = eixo Y direito.

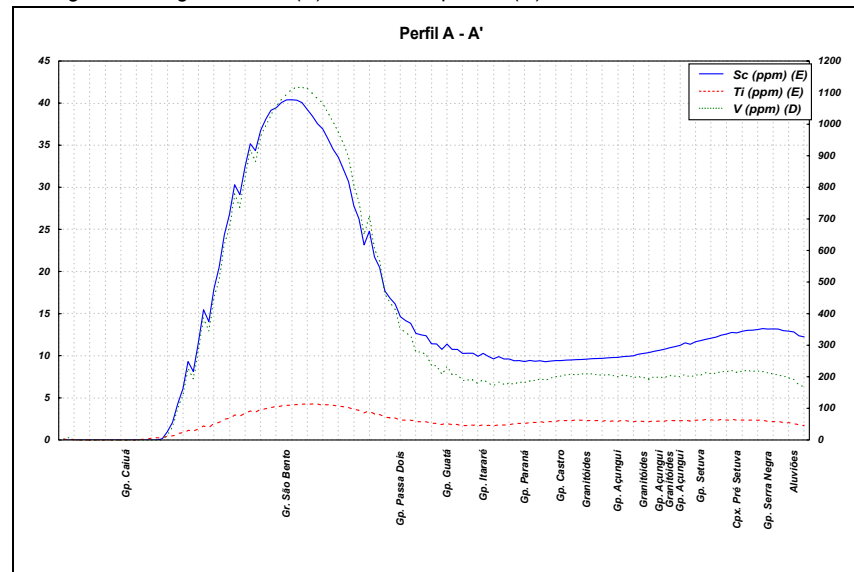


Figura 4.96 – Perfil geoquímico do Sc, Ti, V nos sedimentos ativos de drenagem (GGRN), segundo A-A'. (E) = eixo Y esquerdo; (D) = eixo Y direito.